

# 弹性电子-奇A核散射与四极形变参数 $\beta_2$

2024.3.18文献阅读报告

冯仟潞



中山大學  
SUN YAT-SEN UNIVERSITY

# CONTENTS

---

## 研究背景

关于原子核形状以及电子-核散射截面的  
相关知识

## 研究方法

关于非极化电子-奇A核散射与计划情况下  
散射截面的推导

## 计算结果与分析

以Na原子核的长椭与扁椭情况，Mg与Co原  
子核的长椭情况为例与实验结果进行分析

## 研究结论

研究结论及相关讨论

# 01

## 研究背景

关于原子核形状以及电子-核散射截面的相关知识

## 对于原子核形状的简单描述：假设核为轴对称，引入四级形变参数 $\beta_2$

1. 四级形变参数 $\beta_2$ ：其符号（ $\pm$ ）表示对称轴与垂直轴的关系
2. 电四级跃迁几率 $B(E_{20})$ 与 $\beta_2$ 的平方成正比
3. 用来反映原子核结构的实验： $\beta$ 衰变实验，电子散射实验等

## 原子核结构与电子散射实验的关系

1. 电荷分布与电荷形状因子：形状因子的第一个极小值与电荷分布均方根有关，第二个极大值反映电荷分布的表面扩散
2. 在电子与核均未被极化时，电荷形状因子只依赖于不同级次形状因子平方的线性叠加
3. 通过引入入射电子与靶核的极化自由度，可使形状因子包含纵向多级展开 $C_0$ 与 $C_2$ 的相干项
4. 实验上的实现：利用极化的靶核拦截储存环中的循环电子

# 02

## 研究方法

关于非极化电子-奇A核散射与计划情况下散射截面的推导

**理论依据：平面波玻恩近似（用于理论推导）与库伦畸变波玻恩近似（用于最后与实验结果的对比分析）**

微分散射截面表达式：

$$\frac{d\sigma}{d\Omega}|_{I_i^{\pi_i} \rightarrow I_f^{\pi_f}} = \sigma_{tot}(\theta', \phi') = Z^2 \sigma_M f_{rec}^{-1} [\sigma_0 + \sigma_{al}(\theta', \phi')]$$

其中 $\sigma_M$ 为Mott截面， $f_{rec}$ 为反冲项

$$\sigma_0 = V_L |F_L(q)|^2 + V_T |F_T(q)|^2$$

$$V_L = (Q^2/q^2), V_T = \tan^2(\theta_e/2) - (Q^2/q^2)/2$$

$\sigma_0$ 中的  $V_L$  与  $V_T$  为运动学项，而  $F_L$  与  $F_T$  分别为纵向电荷形状因子与横向电磁形状因子，本文主要讨论与电荷分布密切相关的电荷形状因子  $F_L$ ，库伦响应与各级电荷形状因子关系如下：

$$|F_L(I_i, I_f; q)|^2 = \sum_{\lambda \geq 0} |F^{C\lambda}(I_i, I_f; q)|^2$$

第 $\lambda$ 级电荷形状因子可写为：

$$F^{C\lambda}(I_i, I_f; q) = \frac{\sqrt{4\pi}}{Z} \langle I_f || \hat{T}^{C\lambda} || I_i \rangle / \sqrt{2I_i + 1}$$

$$F^{C\lambda}(I_i, I_f; q) = \frac{\sqrt{4\pi}}{Z} \langle I_f | \hat{T}^{C\lambda} | I_i \rangle / \sqrt{2I_i + 1}$$

式中的库伦多级算符T为:

$$\hat{T}_{\mu}^{C\lambda}(q) = i^{\lambda} \int dR j_{\lambda}(qR) Y_{\lambda}^{\mu}(\Omega_R) \hat{\rho}(R)$$

与 $\sigma_0$ 类似,  $\sigma_{al}$  依赖靶核的取向, 可表示为如下形式:

$$\begin{aligned} \sigma_{al}(\theta', \phi') = \sum_{l=\text{even}>0} \alpha_l^{I_i} [ & P_l(\cos\theta') (-V_L F_L^l + V_T F_T^l) \\ & P_l^2(\cos\theta') \cos(2\phi') V_{TT} F_T T^l \\ & + P_l^1(\cos\theta') \cos\phi' V_{TL} F_{TL}^l ] \end{aligned}$$

式中的 $\alpha$ 为统计因子,  $P(M_i)$ 为一个态占据的概率:

$$\alpha_{\ell}^{I_i} = \sum_{M_i} P(M_i) \langle I_i M_i \ell 0 | I_i M_i \rangle$$

其中的  $(\theta', \phi')$  为极化方向。简便起见, 本文只考虑纵向的相干项, 因此只考虑包含该相干项的  $F_L^l$

$$F_L^l(I_i, I_f; q) = \sum_{\lambda, \lambda'} X(\lambda, \lambda', I_i, I_f, l) F^{C\lambda}(I_i, I_f; q) F^{C\lambda'}(I_i, I_f; q)$$

$$F_L^l(I_i, I_f; q) = \sum_{\lambda, \lambda'} X(\lambda, \lambda', I_i, I_f, l) F^{C\lambda}(I_i, I_f; q) F^{C\lambda'}(I_i, I_f; q)$$
$$X = (-1)^{I_i + I_f + 1} \bar{I}_i \bar{\lambda} \bar{\lambda}' \bar{\ell}^2 \begin{pmatrix} \lambda & \lambda' & \ell \\ 0 & 0 & 0 \end{pmatrix} \begin{Bmatrix} I_i & I_i & \ell \\ \lambda & \lambda' & I_f \end{Bmatrix} \quad \bar{a} = \sqrt{2a + 1}.$$

与偶-偶核不同，靶核为整齐排列 $I=k \geq 3/2$ 的奇A核时，C0与C2级次的相干项对与电荷形状因子有贡献。通过比较未被极化时与经极化后的散射截面，即可通过其差异得到核结构的信息

$\theta' = 0$ 且核取向取转移动量的方向时，包含相干项的项可被分离出来：

$$\sigma_{tot}(\theta' = 0, \phi') - \sigma_0 = \sum_l \alpha_l^{I_i} (-V_L F_L^l + V_T F_T^l)$$

关注C0与C2的相干项：

$$\sigma_{al} = -\alpha_2^{I_i} P_2(\cos\theta') V_L F_L^{l=2}$$

弹性散射条件下，可得

$$F_L^{\ell=2}(I_f; q) = -2\sqrt{5} F_{I_f}^{C0}(q) F_{I_f}^{C2}(q)$$

该形状因子包含C0与C2形状因子的相对相位，与 $\lambda=2$ 电荷分布的 $\rho_2$ 有关



# 原子核形状与四级形变参数 $\beta_2$

以上公式中的密度是在BCS近似下通过考虑对关联效应的形变Skyrme Hartree-Fock方法计算所得：

$$\rho(\vec{R}) = 2 \sum_i v_i^2 |\Phi_i(\vec{R})|^2$$

而 $\beta_2$ 可通过以下式子得到

$$\begin{aligned}\beta_2 &= \sqrt{\frac{\pi}{5}} \frac{Q_0}{A \langle R^2 \rangle}, \\ Q_0 &= \sqrt{16\pi/5} \int \rho(\vec{R}) R^2 Y_{20}(\Omega_R) d\vec{R} \\ \langle R^2 \rangle &= \frac{\int R^2 \rho(\vec{R}) d\vec{R}}{\int \rho(\vec{R}) d\vec{R}}.\end{aligned}$$

其中 $Q_0$ 为固有四极矩， $\langle R^2 \rangle$ 为均方半径，通过上式，可将四级形变参数 $\beta_2$ 与散射截面联系起来

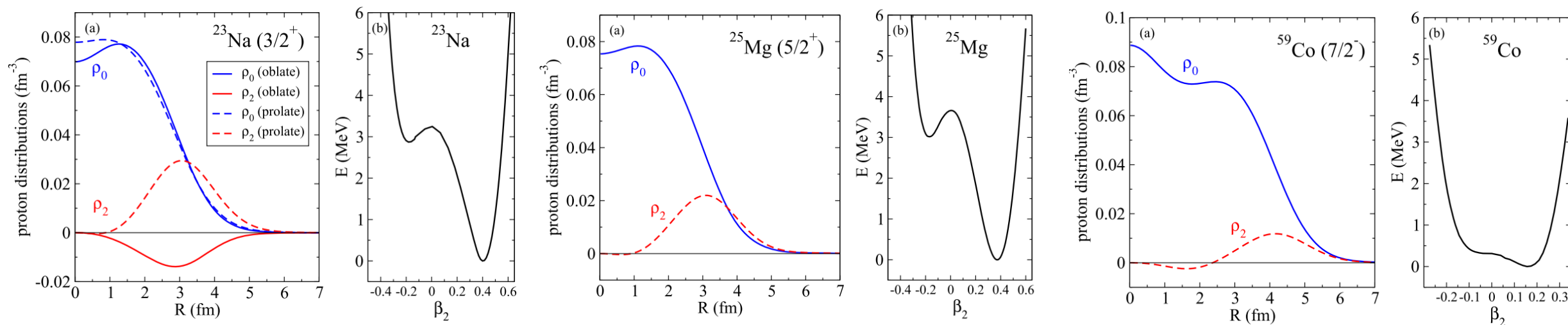
# 03

## 计算结果与分析

以Na原子核的长椭与扁椭情况，Mg与Co原子核的长椭情况为例与实验结果进行分析

# 密度分布对比

$^{23}\text{Na}$  ( $I^\pi=3/2^+$ ) ,  $^{25}\text{Mg}$  ( $I^\pi=5/2^+$ ) ,  $^{59}\text{Co}$  ( $I^\pi=7/2^-$ ) 长椭与扁椭情况下不同级次的质子分布及激发能关于 $\beta_2$ 的函数

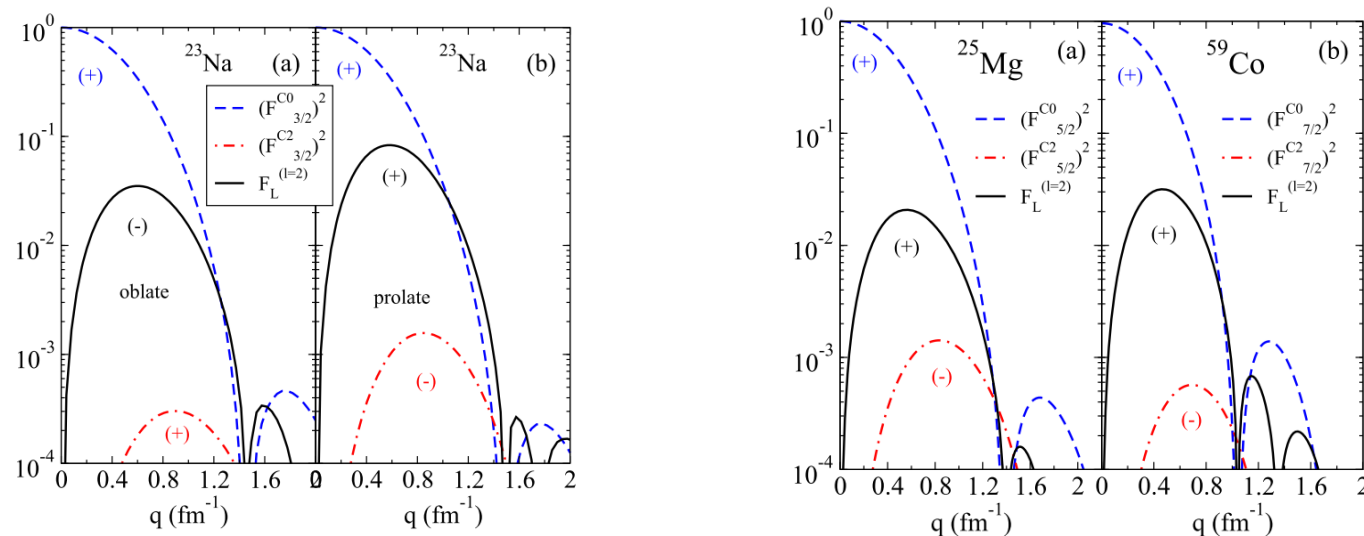


第二级次对应的密度主要在原子核表面达到峰值，影响较为显著，而对于原子核内部的影响非常微小；根据 $\beta_2$ 符号的不同， $\rho_2$ 的主要取值也不相同

$\beta_2$ 的符号的影响主要表现在原子核形状的长椭与扁椭上。

# 形状因子对比

$^{23}\text{Na}$  ( $I^\pi=3/2^+$ ) ,  $^{25}\text{Mg}$  ( $I^\pi=5/2^+$ ) ,  $^{59}\text{Co}$  ( $I^\pi=7/2^-$ ) 不同级次库伦形状因子的平方及  $F_L^{\ell=2}$

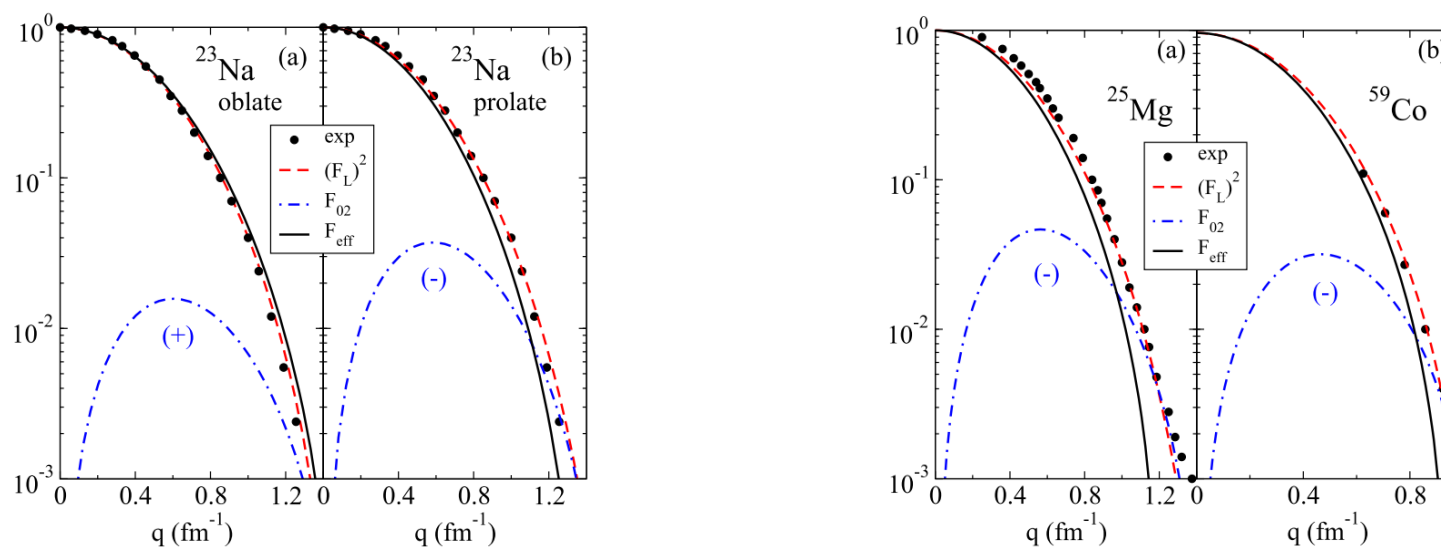


在利用未被极化的靶核的实验中，C2的数量级远远小于C0，因此其对于衍射极小值几乎没有贡献  
同时由于实验中只有 $(F^{C2})^2$ 可进行观测，因此无法给出第二级次密度的正负  
相干项  $F_L^{\ell=2}$  远大于 $(F^{C2})^2$ ，则可在实验上进行独立观测

# 形状因子与实验结果对比

当 $\theta' = 0$ ，且靶核取向为转移动量的方向时：有  $F_{\text{eff}} = |F_L|^2 + F_{02} = |F^{C0}|^2 + |F^{C2}|^2 + F_{02}$ ，

做出 $^{23}\text{Na}$ 在长椭与扁椭情况下及 $^{25}\text{Mg}$ 与 $^{59}\text{Co}$ 的 $(F_L)^2$ ， $F_{02}$ 和 $F_{\text{eff}}$ 及非极化时实验测得的 $(F_L)^2$

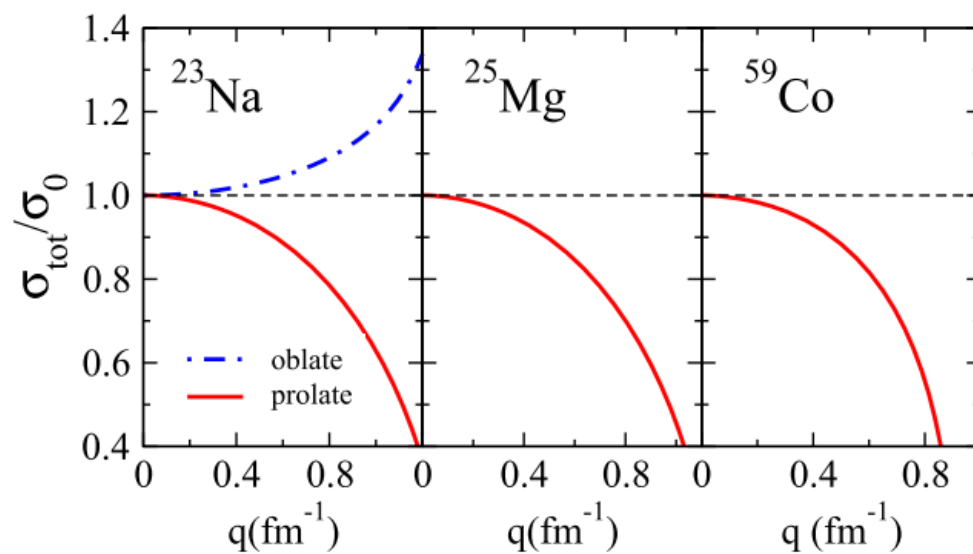


由上图可得，只需对比 $F_{\text{eff}}$ 与 $(F_L)^2$ 的大小关系，即可得到原子核的形状信息

# 散射截面对比

做出总极化散射截面与非极化散射截面的比值 $\sigma_{\text{tot}}/\sigma_0$

$$\frac{(\sigma_0 + \sigma_{\text{al}})}{\sigma_0} = 1 + \frac{F_{02}}{|F_L|^2} = \frac{F_{\text{eff}}}{|F_L|^2}$$



由上图可清晰看出，极化结果与非极化结果的偏差较大，可通过实验进行观测

# 04

## 研究结论

部分原子核的相关结果分析

可通过将奇A核进行极化的方式，引入多级库伦形状因子的相干项，将其结果与未经极化的实验结果进行对比，因而得到关于原子核形状的相关信息

## 其他拓展研究

- 1.在文章的理论推导阶段，做了一些限制，可进一步讨论去掉该限制后的情况
- 2.关于除C0/C2外其他相干项的讨论
- 3.关于核形状共存的原子核的横截面对于原子核形状的敏感性



# 感谢您的聆听

冯仟潞

2024.3.18



中山大學  
SUN YAT-SEN UNIVERSITY